

# اثر فشار و مقدار گاز CO<sub>2</sub> تزریقی روی میزان بازیافت نفت در فرایند تزریق گاز

سعید عباسی\*<sup>+</sup>، مهدی جاهدی

تهران، پژوهشگاه صنعت نفت، واحد ازدیاد برداشت از مخازن هیدروکربوری، صندوق پستی ۱۴۶۳-۴۱۷۴۵

**چکیده:** تزریق گاز، روشی است که به طور عمده ضریب بازیافت از میانهای نفتی را افزایش می‌دهد. به طوری که می‌توان گفت از لحاظ اقتصادی در برخی از حالت‌ها خیلی مناسب است، به ویژه هنگامی که دسترسی به ذخایر گازی آسان باشد. در این پژوهش، نتیجه‌های عملکرد تزریق گاز به نمونه‌های مغزه یکی از مخازن نفتی ایران مورد ارزیابی قرار گرفته است. در این مطالعه سری آزمایش انجام شد که هر کدام از آنها طی فشارها و ترکیب‌های متفاوتی صورت گرفتند. با توجه به آزمایش‌های انجام شده مشخص شد که فشار تزریق نقش به نسبت زیادی در میزان بازدهی دارد. البته ذکر این نکته نیز لازم است که اضافه کردن یک عامل امتزاج پذیر به ترکیب گاز تزریقی می‌تواند میزان بازیافت را افزایش دهد. اما اضافه کردن این عامل باید به مقدار مناسب انجام گیرد تا بتواند اثر خود را نشان دهد. هر چند اضافه کردن عامل امتزاج پذیر ممکن است شرایط امتزاج پذیری را ایجاد ننماید، اما می‌تواند تا حدودی ضریب بازیافت را افزایش دهد. در انتها با کمک نرم افزار شیمی ساز، حداقل فشار امتزاجی آزمایش‌های انجام شده شیوه سازی شد. این شیوه سازی با ترکیب‌های متفاوت کردن دی‌اکسید صورت گرفت که نتیجه‌های بدست آمده از شیوه سازی‌ها نیز نتیجه‌های حاصل از آزمایش‌ها را تأیید می‌کند. بدین مفهوم که هرچه میزان کردن دی‌اکسید اضافه شده به ترکیب گاز بیشتر شود، حداقل فشار امتزاجی کاهش پیدا می‌کند.

**واژه‌های کلیدی:** تزریق گاز، فشار تزریقی، امتزاج پذیری، فشار امتزاجی، حداقل فشار امتزاجی.

**KEY WORDS:** Gas injection, Gas enrichment, Miscibility, Miscibility pressure, Minimum miscibility pressure (MMP).

## مقدمه

ثانویه به کار رفت. طرح‌های پژوهشی تزریق گاز در شرایط اولیه به منظور افزایش فراوری آبی طراحی شده بودند و باید مانند طرح‌های پژوهشی ازدیاد برداشت درنظر گرفته شوند و مانند یک فن ازدیاد برداشت، سیال تزریق شده باید افزون بر افزایش انرژی مخزن، نفت را نیز جابه‌جا کرده و آن را به طرف چاههای تولیدی حرکت دهد. تزریق گاز (به ویژه تزریق گاز امتزاجی)، روشی است

+E-mail: abbas@ripi.ir

تزریق گاز، یکی از قدیمی ترین فرایندهای تزریق سیال به مخازن نفتی است. انجام این کار در سال ۱۸۶۴ و تنها چند سال پس از حفاری چاه Drake پیشنهاد شده بود. هدف از این کار حفظ فشار مخزن و برگرداندن تولید به شرایط اولیه بود. بعد از این زمان، تزریق گاز طبیعی یا گازهای دیگر با موفقیت در تعداد زیادی از مخازن در سراسر جهان و به عنوان یک روش بازیافت

\*عهده دار مکاتبات

کشش سطحی وارد شده در سیستم سیال سه تایی (C<sub>1</sub>, C<sub>2</sub>, C<sub>3</sub>) نسبت داده می‌شود. به خاطر این گرادیان، تعادل مؤینگی در یک درجه پایین‌تر از اشباع گاز در نزدیک شکاف به دست می‌آید [۶]. آزمایش‌های Morel توسط *Hu Hua* شبیه‌سازی شد که این مدل ترکیبی، از یک محاسبه تحلیلی در شکاف و یک واحد عددی در داخل نمونه بود [۷]. این پژوهش‌گران اهمیت محاسبه‌های نفوذ و تفاوت‌های فشار مؤینگی همراه با کشش سطحی ناشی از اثرهای ترکیبی را نشان دادند.

*Wylie* و همکارانش آزمایش‌های انتقال جرم و تزریق گاز را انجام دادند. آنها تایید کردند که هر چه میزان اشباع آب بالاتر باشد بنابراین بازیافت پایین‌تر است [۸]. اثر نفوذ گاز توسط *Romancer* و همکارانش بررسی شده است. آنها اثر متان، نیتروژن و کربن دی اکسید را مقایسه کردند. آزمایش‌های آنها نشان داد که گرادیان کشش سطحی در میان حجم فضای خالی و شکاف، هم می‌تواند مطلوب و هم نامطلوب باشد. تفاوت فشار مؤینگی باعث ایجاد جریان از شکاف یا به سمت شکاف می‌شود که این پدیده را پمپاژ مؤینگی<sup>(۳)</sup> می‌نامند.

اگر کشش سطحی از حجم فضای خالی ماتریکس به سمت شکاف افزایش پیدا کند (در مورد تزریق نیتروژن)، پمپاژ مؤینگی به حفظ یک شدت تولید ثابت برای یک مدت زمان طولانی کمک می‌کند، زیرا جریان مایع به سمت شکاف زیاد شده است. بر عکس اگر کشش سطحی نزدیک شکاف کاهش پیدا کند (در مورد تزریق کربن دی اکسید)، پمپاژ مؤینگی به سمت زدودن نفت از شکاف کمک می‌کند و بازیافت متوقف می‌گردد [۹]. در نتیجه در مورد پایین بودن پتانسیل ریزش قلی، *Darman* و *Sorbie* نتیجه گرفتند که کشش سطحی برای نگه داشتن بالاترین میزان اشباع نفت نزدیک شکاف لازم است و تزریق نیتروژن توصیه شده است [۹]. همچنین *Burger* و همکارانش نشان دادند که پمپاژ مؤینگی به طور اساسی برای افزایش انتقال جرم شرکت نمی‌کند. افزون بر این، نتیجه گرفتند که انتقال جرم می‌تواند به وسیله جهت یابی سیستم شکاف نمونه، خیلی زیاد تغییر پیدا کند [۱۰].

## کار آزمایشگاهی

در این تحقیق، عملکرد تزریق گاز به منظور بالا بردن ضریب بازیافت یکی از مخازن نفتی ایران بررسی شده است.

(۱) Conventional frontal drive

(۲) Diffusion

که به طور عمده ضریب بازیافت نفت را افزایش می‌دهد. با درنظر گرفتن این که ایران دارنده دومین ذخیره گازی در جهان است، چنین روش‌هایی از لحاظ اقتصادی خیلی مناسب هستند. به طور کلی گاز در داخل مخزن برای دو منظور تزریق می‌شود: ۱- برای ثابت نگه داشتن فشار ۲- برای ایجاد جهه‌ای از نفت و جاروب آن به سمت چاههای تولیدی.

گاز ممکن است به صورت یک فرایند امتزاجی و یا یک فرایند غیرامتزاجی نفت را جابه جا کند. مشخصه‌ها و ویژگی‌های نفت و گاز و شرایط دما، فشار تزریق، نوع فرایند را مشخص می‌کنند. به طور کلی امتزاج پذیری به فشار، دما، ترکیب نفت و سیال تزریقی (جابه جاکننده) بستگی دارد [۱].

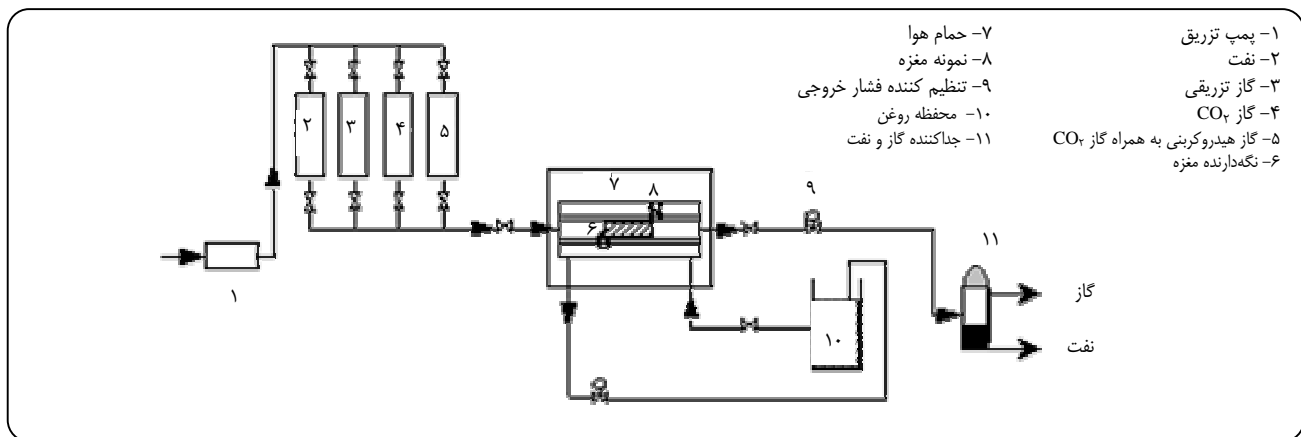
*Musku* در سال ۱۹۴۶ نشان داد حفظ فشار باعث افزایش بازیابی نفت می‌شود. به ویژه این که ضریب تشکیل حجمی نفت بالاتر باشد [۲]. براساس آزمایش‌های انجام شده توسط *Elkins* در سال ۱۹۶۹ حجم گاز تزریق شده، گازروی نفت و ضریب تشکیل حجمی نفت سه فاکتور اصلی در فرایندهای بازیافت نفت هستند. تماس بیشتر گاز تزریقی با نفت مخزن موجب افزایش تغییرها در ترکیب نفت شده و منجر به تولید بیشتر نفت می‌شود. برای مخازن کربنات عظیم با تراوایی خوب، به نظر نمی‌رسد که فشار تزریق در نهایت تأثیر زیادی بر بازیافت نهایی نفت داشته باشد [۳].

فرایندهای امتزاج پذیر هیدرورکربنی به طور وسیع و در طی سال‌های ۱۹۵۰ و ۱۹۶۰ در امریکا و کانادا انجام شد. بیش از ۱۵۰ پروژه در این تناوب زمانی آغاز شد و بیشتر این پروژه‌ها به صورت آزمایش‌های پایلوت و در مقیاس کوچک انجام شدند که تنها در یک یا چند چاه تزریقی وارد می‌شدند. با وجود این، تعدادی از طرح‌ها در مقیاس‌های وسیع انجام پذیرفتند [۴].

در سال ۱۹۶۰ نشان داده شد که بازیافت نفت بیشتر از روش‌های پیش‌بینی شده به وسیله‌ی پیشروی جهه<sup>(۱)</sup> است، چرا که این روش‌ها تعادل تبخیری در میان فاز نفتی مخزن و گاز تزریق شده را در نظر نمی‌گیرند. توصیف ریاضی جریان گاز در محیط متخال - شکاف‌دار بر مبنای مجسم ساختن انتقال جرم در سیستم تخلخل دوگانه است [۵].

*Morel* و همکاران، آزمایش‌های نفوذ<sup>(۲)</sup> را همراه با مخلوط‌های ترکیبی انجام دادند. آنها نشان دادند که تزریق نیتروژن به سمت تجمع مایع در نزدیک شکاف هدایت می‌شود. این اثر به گرادیان

(۲) Capillary pumping



شکل ۱- شمای ساده‌ای از سیستم تزریق در آزمایش‌های انجام گرفته.

۴۸ ساعت عمل شستشو با تولوئن روی نمونه مورد نظر انجام شد. پس از اطمینان از تمیز بودن نمونه، آن را در داخل کوره قرارداده تا به طور کامل خشک شود. پس از خشک شدن نمونه، وزن خشک آن یادداشت می‌شود. سپس نمونه برای اشباع شدن با آب مخزن در داخل دستگاه قرارگرفته و پس از این که به مدت ۳ ساعت تحت خلاً قرارگرفت، اشباع نمونه با فشاری معادل ۱۲۰۰۰ psi انجام شد. پس از اشباع، نمونه را وزن کرده و سپس تا شروع آزمایش، در داخل آب مخزن قرار داده می‌شود. با استفاده از ویژگی‌های نمونه و وزن‌های اندازه گیری شده، میزان حجم<sup>(۴)</sup> به دست آورده می‌شود:

$$\text{میزان حجم} = \left( \frac{\text{وزن خشک شده سنگ}}{\text{دانسیته آب}} - \left( \frac{\text{وزن اشباع شده سنگ}}{\text{دانسیته آب}} \right) \right)$$

سپس نمونه در داخل نگهدارنده مغزه قرارگرفته و فشار پوشان سنگ لازم بر آن اعمال شده و تزریق آب به نمونه آغاز می‌شود. پس از اطمینان از پایدار شدن جریان خروجی و همچنین گذشتن تزریق یک برابر حجم فضای خالی از آن، تزریق آب قطع می‌شود. سپس تزریق نفت آغاز می‌شود. در این مورد نیز آنقدر زمان داده می‌شود تا این که به اندازه یک PV نفت از نمونه خارج شود و دیگر آبی خارج نشود. میزان آبی که خارج شده است، نشان دهنده میزان نفت جایگزین شده در داخل نمونه می‌باشد (V<sub>0</sub>). بنابراین، حجم نفتی که در داخل نمونه است نیز مشخص می‌شود. به منظور مشخص کردن میزان بازیافت، تزریق گاز به نمونه آغاز می‌شود.

(۱) Air bath

(۲) Over burden pressure

در آزمایش‌های انجام گرفته میزان بازیافت نفت در اثر تزریق گاز به نمونه‌های نفتی مورد نظر که تهیه شده اند اندازه گیری شده و با تغییر پارامترهای موثر، میزان بازیافت تخمین زده شده‌اند. همچنین شرایط امتحان پذیری فرایند نیز مورد بررسی قرار گرفته است. در این آزمایش‌ها، دستگاه تزریق به گونه‌ای طراحی شده که محدوده گسترده‌ای از تزریق را تحت سناریوهای متفاوت از جمله دما، فشار و ترتیب فاز تزریقی در بر می‌گیرد. این دستگاه دارای ویژگی‌هایی است که می‌تواند تحت شرایط مخزن از نظر حرارت و فشار عمل تزریق سیال را انجام دهد. با توجه به طراحی‌های دستگاه می‌توان در آزمایشگاه، به روش‌ها و مدل‌های متفاوت، تزریق روی مدل‌های فیزیکی (سنگ آهکی - سنگ) مختلف را انجام داد. دستگاه از دو بخش عمده تشکیل شده است :

۱- بخش مدول هیدرولیکی نگهدارنده مغزه، حمام هوا<sup>(۱)</sup> و سیستم اتصالات، سیستم تزریق (پمپ و مخازن سیالات تزریقی)، مجموعه ایجاد فشار پوشان سنگ<sup>(۲)</sup>، سیستم کنترل فشار خروجی<sup>(۳)</sup> (پمپ و بافرها) و فشار سنج هاست.

۲- بخش الکتریکی مجموعه‌ای از کنترل کننده‌ها، امکانات ثبت فشار و دمای نقاط متفاوت است. شمای ساده‌ای از نصب این تجهیزات در شکل ۱ آورده شده که موقعیت هر یک از تجهیزات نشان داده شده است.

### نحوه آماده سازی مدل و شرح کلی آزمایش‌ها

برای همه آزمایش‌ها، ابتدا برای اطمینان از تمیز بودن،

(۳) Back pressure regulator

(۴) Pore volume

$$t_D = \frac{t}{t_{ch}}$$

که  $t_D$  زمان بدون بعد و  $t$  زمان‌های محاسبه شده بر حسب ثانیه در آزمایش‌ها می‌باشند.

### تجزیه و تحلیل نتیجه‌های آزمایش‌ها

مرحله اول (ترزیق گاز طبیعی در فشار ۳۰۰۰ psi)

در این مرحله گاز به‌طور خالص و با فشار ۳۰۰۰ psi و دمای ۸۰ درجه سانتی‌گراد به نمونه ترزیق شد. همان‌طور که از نمودار بازیافت بر حسب حجم گاز ترزیق شده در شکل ۲ مشخص است، میزان بازیافت در حدود ۷۰ درصد است که نشان می‌دهد جابه‌جایی به نسبت خوبی در نمونه صورت گرفته است. همچنین این میزان بازیافت در مقایسه با ترزیق آب خیلی قابل توجه می‌باشد. بنابراین، در صورت در دسترس بودن منابع عظیم گازی، روش ترزیق گاز در مقایسه با ترزیق آب هم اقتصادی‌تر و هم مقومن به صرفره است.

با توجه به نمودارهای تولید گاز و تولید نفت بر حسب  $t_D$  در شکل ۳ متوجه می‌شویم که در  $t_D = ۳۸۰$ ، تولید گاز به شدت افزایش یافته است که در این زمان تولید نفت نیز به حالت ثابت درآمده است. البته نقطه شروع تولید<sup>(۲)</sup> گاز در زمان  $t_D = ۵۰$  به انجام رسیده و سپس به حالت ثابت درآمده و پس از آن به شدت افزایش یافته است. البته همان‌طور که ملاحظه می‌شود در زمان شروع تولید گاز، تولید نفت نیز کاهش یافته و پس از ثابت شدن تولید گاز، تولید نفت به یکباره افزایش یافته است. علت کاهش تولید نفت در زمان شروع تولید گاز نیز به روشنی مشخص است، تولید نفت از مسیرهایی از میان نفت، خود را به انتهای نمونه زیرا گاز با ایجاد مسیرهایی از میان نفت، خود را به انتهای رسانده و خارج می‌شود. در نتیجه گاز ترزیقی از همین مسیر حرکت کرده و نمی‌تواند نفت را جابه‌جا کند. با دقت به نمودار اشباع نفت بر حسب  $t_D$  در شکل ۴ نیز مشخص است که میزان نفت از مقدار اولیه خود در داخل نمونه ( $S_{oi} = ۰/۷۴$ ) به تدریج کاهش یافته تا وقتی که تولید گاز اتفاق می‌افتد. از این زمان به بعد روند کاهش در  $S_{oi}$  به شدت نزول پیدا کرده تا این‌که به یک مقدار ثابت ( $S_{or}$ ) برسد. این مقدار ثابت، همان میزان اشباع نفت باقی‌مانده در داخل نمونه است که طی انجام فرایندهای بعدی افزایش یافت. همان‌طور که از نمودار نرمال شده اشباع نفت بر حسب حجم گاز ترزیق شده در شکل ۵ می‌توان مشاهده کرد، پس از ترزیق گاز، میزان اشباع نفت نرمال شده

(۱) Characterization time

از آنجا که میزان بازیافت نفت در اثر ترزیق آب در بیشتر موارد ۳۰ تا ۴۰ درصد می‌باشد، بنابراین، از میزان نفت بیرون آمده می‌توان نتیجه گرفت که ترزیق گاز، چه میزان بازیافتی در مقایسه با ترزیق آب دارد. البته در این آزمایش‌ها، هر مرحله با فشار و یا ترکیب متفاوت با مرحله قبلی انجام می‌شود که درنهایت نتیجه‌های بازیافت طی نموداری مقایسه می‌شوند.

### نتیجه‌های حاصل از آزمایش‌ها

در این پژوهش، نتیجه‌های عملکرد ترزیق گاز به شاخص یکی از مخازن نفتی ایران مورد ارزیابی قرار گرفته است. ویژگی‌های نفت استفاده شده در این آزمایش در جدول ۱ نشان داده شده است. همچنین ترکیب‌های نفت مخزن مورد استفاده در این آزمایش‌ها و همچنین گازهای ترزیقی در جدول ۲ آمده است.

در این مطالعه ۳ سری آزمایش در فشارها و ترکیب‌های متفاوتی انجام شد. ذکر این نکته لازم است که ترکیب نفت مخزن در تمام آزمایش‌ها یکسان بوده تا بتوان نتیجه‌ها را با یکدیگر مقایسه کرد. جزیيات مربوط به این آزمایش‌ها در جدول ۳ آورده شده است. لازم به ذکر است که فشار خروجی سیستم در فشار ۷۰ بار قرار داده شد، به عبارتی کل سیستم در این فشار قرار گرفت که شاخصی از فشار مخزن فرض شده است. همان‌طور که در جدول مشاهده می‌شود سری اول آزمایش‌ها با ترکیب گاز طبیعی خالص و در فشار ۳۰۰۰ psi و دمای ۸۰ درجه سانتی‌گراد به انجام رسید. سری دوم آزمایش‌ها با همان ترکیب و فشار ۴۰۰۰ psi دمای ۸۰ درجه سانتی‌گراد به انجام شد. در سری سوم به ترکیب گاز، ۶ درصد کربن دی اکسید اضافه شد و آزمایش‌ها در فشار ۱۵۰۰ psi انجام شد. بازیافت حاصل از این مرحله تحت تأثیر دو عامل قرارگرفت که یکی اضافه کردن کربن دی اکسید و دیگری انجام آزمایش‌ها در فشار پایین‌تر بود. همچنین در این آزمایش‌ها برای تجزیه نتیجه‌ها از زمان بی بعد استفاده شده است. قبل از بحث درباره آزمایش‌ها، چگونگی محاسبه  $t_D$  به این شرح است :

$$q_{max} = \frac{KA\rho_0 g}{1\mu}$$

$$t_{ch} = \frac{PV}{q_{max}} = \frac{A.H.\phi}{KA\rho g/\mu} = \frac{H.\phi.\mu}{K.\rho.g}$$

در این رابطه H طول (سانتی‌متر)،  $\phi$  تخلخل (درصد) و زمان مشخصه<sup>(۱)</sup> (ثانیه) می‌باشد و درنهایت داریم :

(۲) Breakthrough

جدول ۱ - ویژگی‌های نفت (سیال) مورد مطالعه در این پژوهش.

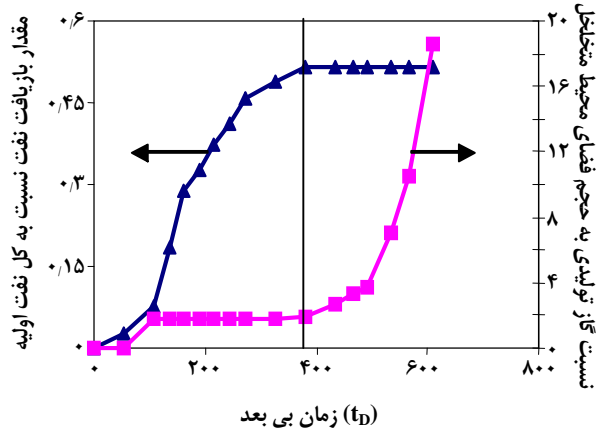
وزن مولکولی نفت مخزن	۱۱۳	$B_o$ در فشار اشباع (bbl/STB)	۱/۴۲
چگالی نسبی نفت مخزن	۰,۷۸	در فشار اشباع (SCF/STB) GOR	۴۵۹,۲۱
وزن مولکولی $C_{12+}$	۲۱۰	گرانبروی نفت (CP)	۱۰,۹۳
چگالی نسبی	۰,۹۱	فشار نقطه حباب (psi)	۱۷۳۱
میزان آسفالتین	۱,۳۰	دماهی مخزن ( $^{\circ}\text{C}$ )	۱۸۱
API	۳۳,۱۷	فشار مخزن (psi)	۲۰۷۹

جدول ۲ - تجزیه نفت مخزن و ترکیب گاز طبیعی تزریق شده با ۶ درصد کربن دی اکسید.

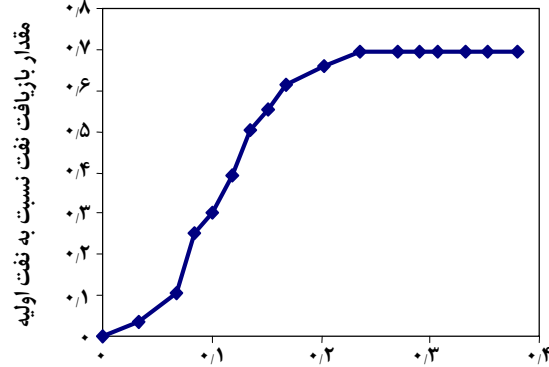
ترکیبات	نفت مخزن (درصد مولی)	گاز تزریقی (درصد مولی)	گاز تزریقی با ۶ درصد مولی $\text{CO}_2$ (درصد مولی)	
$\text{H}_2\text{S}$	۰,۱۲	۰,۴۷	۰,۳۲	
$\text{N}_2$	۰,۰۴	۴,۱۴	۳/۴۵	
$\text{CO}_2$	۱,۲۵	۲,۱۷	۸,۲۳	
$\text{C}_1$	۲۵,۳	۸۴,۹	۸۰,۰۱	
$\text{C}_2$	۵,۷	۵,۱۶	۴,۹	
$\text{C}_3$	۴,۷۱	۱,۷۳	۱,۶۶	
$\text{iC}_4$	۱,۱۷	۰,۳۴	۰,۳۳	
$\text{nC}_4$	۳,۲۳	۰,۵۱	۰,۵	
$\text{iC}_5$	۱,۰۲	۰,۱۷	۰,۱۷	
$\text{nC}_5$	۱,۱۵	۰,۱۳	۰,۱۴	
$\text{C}_6$	۳,۹۸	۰,۱۳	۰,۱۵	
$\text{C}_7$	۳,۵۱	۰,۱	۰,۱۱	
$\text{C}_8$	۳,۳	۰,۰۳	۰,۰۵	
$\text{C}_9$	۲,۳۹	مجموع ۱۰۰ =	مجموع ۱۰۰ =	
$\text{C}_{10}$	۳,۰۸	وزن مولکولی	۱۹,۱۸	وزن مولکولی
$\text{C}_{11}$	۲,۶۶	وزن مخصوص	۰,۶۶۲	وزن مخصوص
$\text{C}_{12+}$	۳۶,۴۱	Net Heat Value	۹۵۲	Net Heat Value
مجموع	۱۰۰	Gross Heat Value	۱۰۵۴	Gross Heat Value

جدول ۳ - جزئیات آزمایش‌های انجام شده.

شماره نمونه	مدل فیزیکی	طول (cm)	سطح (cm <sup>2</sup> )	حجم فضای خالی (cc)	تخلخل (درصد)	نفوذپذیری (md)	اشباع اولیه نفت	فشار گاز تزریقی (psi)	مقدار کربن دی اکسید (درصد)	بعد از تزریق گاز
۱	$M_1$	۴,۹	۳۲,۱۷	۲۹,۶۱۷۷	۰,۱۸۷۸	۱۵	۰,۷۴۲۷	۳۰۰۰	۰	۵۹,۵۵۳۳
۲	$M_2$	۵	۳۲,۱۷	۲۷,۸۵	۰,۱۷۳۱	۱	۰,۷۶۴۸	۴۰۰۰	۰	۷۴,۱۷۹۷
۳	$M_3$	۵	۳۲,۷۴۶	۲۸,۷۴۵۶	۰,۱۷۸۷	۱	۰,۷۴۸۰	۱۵۰۰	۶	۴۶,۵۱۱۶



شکل ۳- مقایسه بین تولید نفت و گاز در آزمایش‌های سری اول.



شکل ۲- بازیافت بر حسب میزان حجم گاز تزریق شده در آزمایش‌های سری اول، ( $P=3000$  psi،  $t_{BI}=50$ ).

از گاز، میزان اشباع نفت نرمال شده به صفر رسیده است.

### مرحله سوم (تزریق گاز طبیعی + ۶ درصد کربن دی اکسید در فشار ۱۵۰۰ psi)

در این مرحله به ترکیب گاز طبیعی، ۶ درصد کربن دی اکسید نیز اضافه و سپس در فشار ۱۵۰۰ psi و دمای ۸۰ درجه سانتی‌گراد به نمونه تزریق شد. با توجه به نمودار بازیافت در شکل ۱، در این مرحله بازیافتنی در حدود ۴۷ درصد به دست آمده است. همان‌طور که در پیش گفته شد، میزان بازیافت در این حالت تحت تاثیر دو عامل قرار گرفته است. عامل اول اضافه کردن گاز کربن دی اکسید به نمونه است که تا حدودی باعث سنگین تر شدن گاز طبیعی می‌شود. از طرفی کربن دی اکسید با نفت مخزن تا حدودی قابلیت امتصاص پذیری دارد. این عامل باعث می‌شود تا این که گاز در نفت حل شده و در نتیجه گاز و نفت به صورت محلول خارج شوند و بنابراین، احتمال وقوع پدیده انگشتی<sup>(۱)</sup> کاهش می‌یابد و در نتیجه این عامل باید باعث افزایش بازیافت شود. ولی در اینجا چون میزان کربن دی اکسید اضافه شده خیلی کم است و به ویژه این که فشار تزریق خیلی کاهش یافته است، بنابراین، میزان بازیافت نیز کم شده است. در مقایسه این دو عامل باید گفت که کاهش شدید فشار، اثر بیشتری در مقایسه با اضافه کردن میزان ناچیز کربن دی اکسید داشته است. با دقت در نمودارهای تولید گاز و تولید نفت بر حسب  $t_D$  در شکل ۱۱ واضح است که وقتی گاز شروع به تولید کرده است ( $t_D=16$ ) میزان تولید نفت نیز کاهش پیداکرده است تا این که به یک مقدار ثابت برسد.

(۱) Fingering

به تدریج کاهش پیدا می‌کند تا این‌که پس از تزریق PV ۰/۲۴ از گاز، میزان اشباع نفت نرمال شده به صفر می‌رسد.

### مرحله دوم (تزریق گاز طبیعی در فشار ۴۰۰۰ psi)

با توجه به نمودار بازیافت در شکل ۶ ملاحظه می‌شود که بازیافتنی در حدود ۷۵ درصد از تزریق گاز به دست آمده است که میزان قابل توجهی است. این امر نشان دهنده این است که در این فشار، گاز عمل جایه جایی را به خوبی انجام داده و حتی مقداری از نفت موجود در خلل و فرج های ریزتر که فشار ۳۰۰۰ psi قادر به خارج کردن آنها نبوده را خارج کرده است.

با دقت به نمودارهای تولید گاز و تولید نفت بر حسب  $t_D$  در شکل ۷ نیز مشخص می‌شود که در  $t_D = ۳۹$  نرخ تولید گاز به شدت افزایش یافته است که این پدیده مصادف با زمانی است که تولید نفت به حالت ثابت در آمده است. البته باید به این نکته توجه داشت که اولین تولید گاز در  $t_D = ۳۱$  صورت پذیرفته است که در این زمان نیز تولید نفت رو به کاهش گذاشته است.

با توجه به نمودار اشباع نفت بر حسب  $t_D$  شکل ۸ نیز مشخص است که میزان نفت از میزان اولیه خود در داخل نمونه ( $S_{01} = ۰/۷۶$ ) به تدریج کاهش پیدا کرده تا این که در زمان اولین تولید گاز، این کاهش به تدریج کمتر شده و پس از مدتی ثابت می‌ماند ( $S_{0r} = ۰/۴۰$ ). ثابت شدن میزان  $S_0$  در  $t_D = ۴۰$  صورت می‌گیرد. با دقت در نمودار نرمال شده اشباع نفت بر حسب حجم گاز تزریق شده در شکل ۹ می‌توان مشاهده کرد که پس از تزریق PV ۰/۲۵

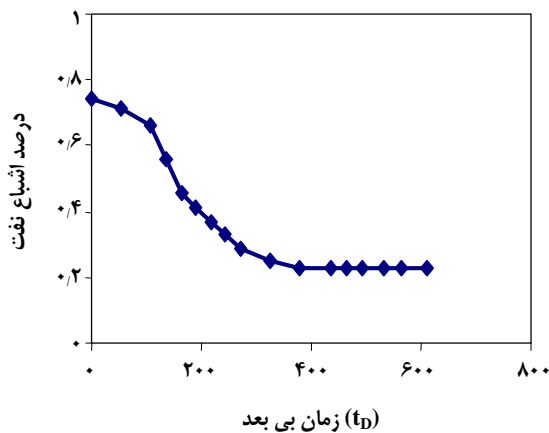
با توجه به نمودار اشباع نفت بر حسب  $t_D$  در شکل ۱۲ نیز مشخص است تولید نفت از میزان اولیه خود ( $S_{oi} = 0.74$ ) به تدریج کاهش یافته و در اولین زمان تولید گاز این کاهش خیلی کمتر شده تا این که به  $S_{or}$  رسیده است. با دقت به نمودار نرمال شده اشباع نفت بر حسب حجم گاز تزریق شده که در شکل ۱۳ نشان داده شده است، می‌توان فهمید که پس از تزریق  $PV = 0.26$  از گاز، میزان اشباع نفت نرمال شده به صفر رسیده است.

### مقایسه سه سری آزمایش‌ها با یکدیگر

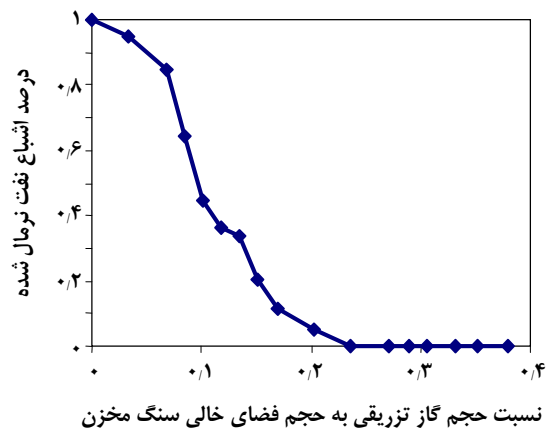
با توجه به آنچه گفته شد مشخص می‌شود که فشار تزریق نقش به نسبت زیادی در میزان بازدهی دارد. همان‌طور که از آزمایش‌های سری اول و دوم مشخص است، افزایش فشار باعث به وجود آمدن بازده بالاتری شده است. دلیل این امر به خاطر آن است که افزایش فشار باعث می‌شود که سیال تزریقی به درون خلل و فرج‌های کوچک‌تر هم نفوذ کرده و نفت آنها را جایه‌جا کند. البته این مطلب به آن معنی نیست که همیشه افزایش فشار باعث به وجود آمدن بازده بالاتری خواهد شد. این افزایش باید تا حداقل فشار امتصاص پذیری (MMP) صورت گیرد تا نسبت به ایجاد بازده بالاتر عمل کند. در موردهایی افزایش فشار بیش از MMP به تشكیل پدیده انگشتی کمک کرده و باعث افت بازده می‌شود. همچنین این افزایش فشار باعث می‌شود تا گرانزوی سیال افزایش یافته و جایه‌جایی به کندی صورت گیرد.

اضافه کردن کربن دی اکسید به گاز باید تا حدودی باعث ایجاد شرایط امتصاص پذیر شود، اما این عامل در مقایسه با کاهش شدید فشار بسیار ناچیز بود و میزان بازده افت قابل توجهی در مقایسه با دو حالت قبلی دارد. بنابراین، اضافه کردن عامل امتصاص پذیر باید در محدوده MMP صورت گیرد تا بتواند اثر خود را نشان دهد. اثری که در پاره‌ای از موردها بازیافت بالای ۹۰ درصد را در مطالعات آزمایشگاهی نتیجه می‌دهد. شکل ۱۴ نتیجه‌های حاصل از مقایسه ۳ آزمایش انجام شده را نشان می‌دهد.

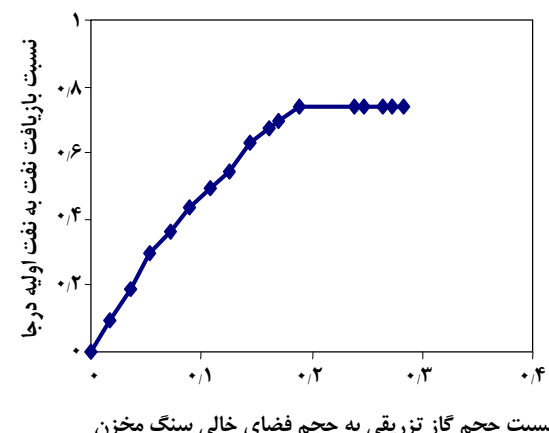
در آزمایش‌های انجام شده در این پژوهش سعی شده تا حداقل خطای موجود باشد، اما موردهایی را در این آزمایش باید مورد توجه قرارداد که می‌توانند باعث تفاوت در نتیجه‌ها و ایجاد خطای کنند. در فرایندهای امتصاصی طول نمونه یکی از پارامترهای مهم برای امتصاصی شدن فرایند است. بنابراین، با افزایش طول مغزه احتمال رسیدن به شرایط امتصاصی بیشتر است. همچنین محدودیت‌های عملیاتی باعث شد که فشار تا مقدار محدودی افزایش یابد.



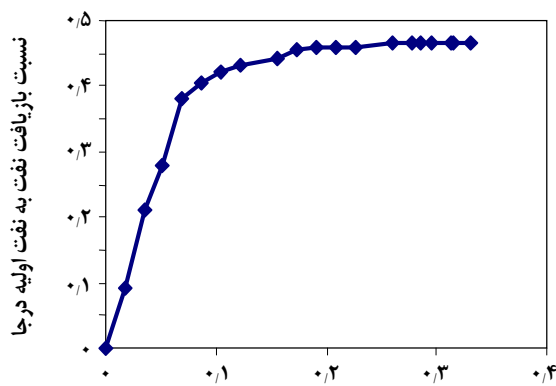
شکل ۴- میزان اشباع نفت بر حسب  $t_D$  در آزمایش‌های سری اول، ( $P=3000 \text{ psi}$ ،  $t_{Bi}=50$ ).



شکل ۵- میزان اشباع نفت نرمال شده بر حسب میزان حجم گاز تزریق شده برای آزمایش‌های سری اول، ( $P=3000 \text{ psi}$ ،  $t_{Bi}=50$ ).

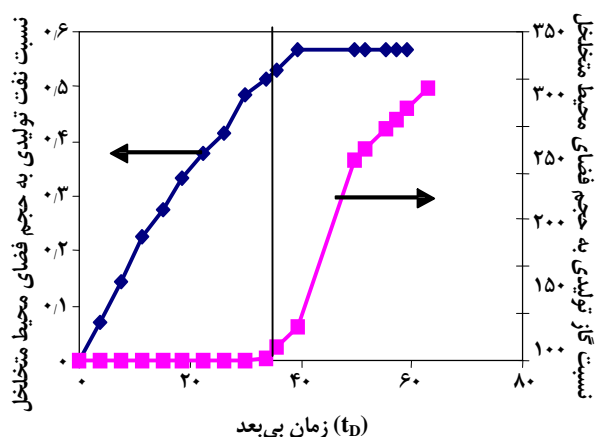


شکل ۶- بازیافت بر حسب میزان حجم گاز تزریق شده برای آزمایش‌های سری دوم، ( $P=4000 \text{ psi}$ ،  $t_{Bi}=31$ ).

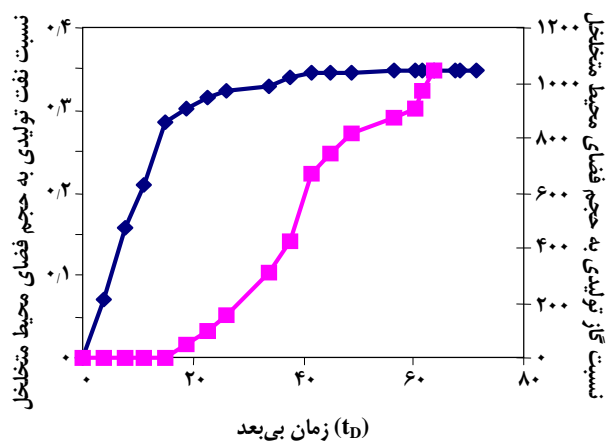


نسبت حجم گاز تزریقی به حجم فضای خالی محیط متخلخل

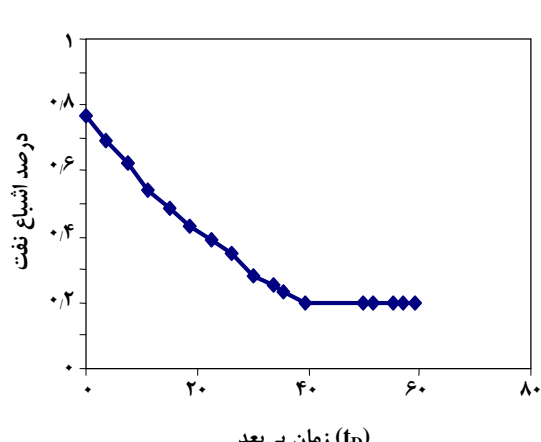
شکل ۱۰- بازیافت بر حسب میزان حجم گاز تزریق شده، آزمایش سوم، ( $P = 1500$  psi،  $CO_2 = 6$  درصد).



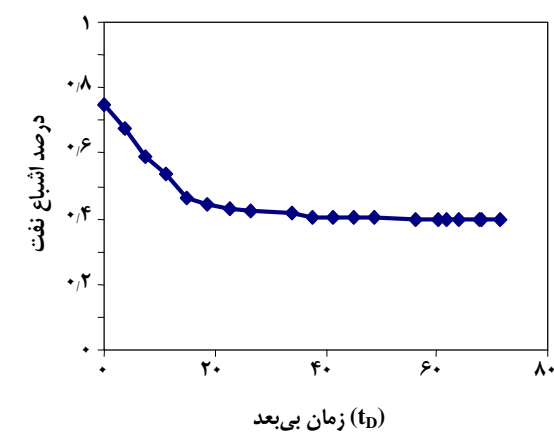
شکل ۷- مقایسه بین تولید نفت و گاز برای آزمایش‌های سری دوم، ( $P = 4000$  psi،  $t_{Bi} = 31$ ).



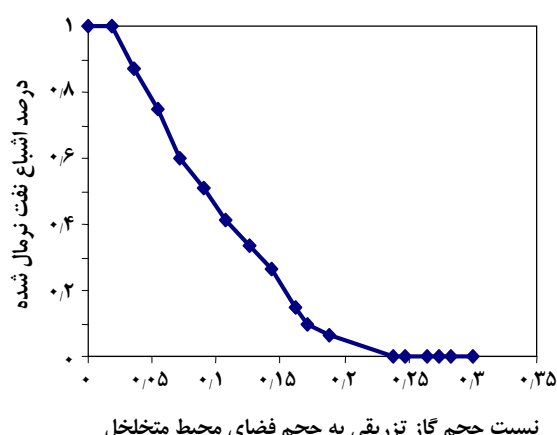
شکل ۱۱- مقایسه بین تولید نفت و گاز، آزمایش سوم، ( $P = 1500$  psi،  $CO_2 = 6$  درصد).



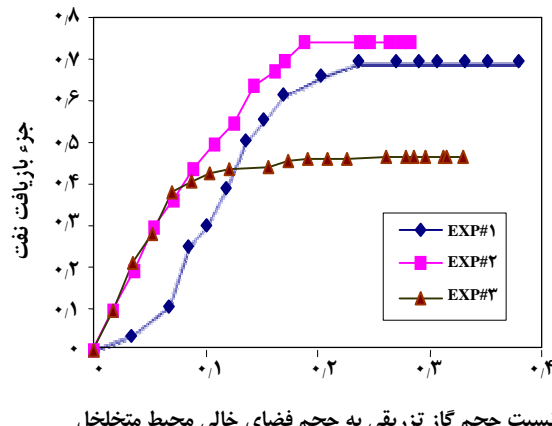
شکل ۸- میزان اشباع نفت بر حسب  $t_D$  برای آزمایش‌های سری دوم، ( $P = 4000$  psi،  $t_{Bi} = 31$ ).



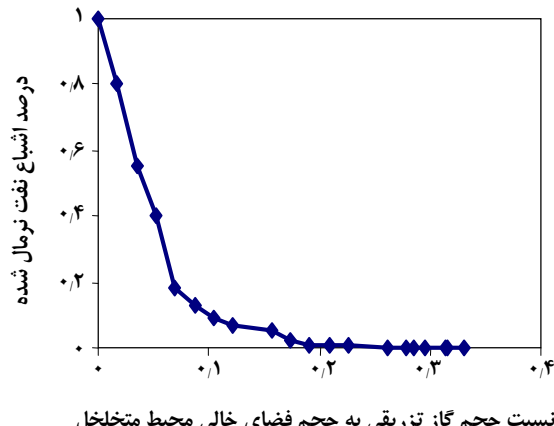
شکل ۱۲- میزان اشباع نفت بر حسب  $t_D$ ، آزمایش سوم، ( $P = 1500$  psi،  $CO_2 = 6$  درصد).



شکل ۹- میزان اشباع نفت نرمال شده بر حسب میزان حجم گاز تزریق شده، آزمایش دوم.



شکل ۱۴- مقایسه ضریب برداشت نفت در سه آزمایش انجام شده.



شکل ۱۳- میزان اشباع نفت نرمال شده بر حسب میزان حجم گاز تزریق شده، آزمایش سوم.

### نتیجه‌های حاصل از شبیه‌سازی با نرم افزار

محاسبه‌های انجام شده برای تخمین MMP ، به وسیله‌ی نرم افزار محاسبه‌های مربوط به به دست آوردن Cricondenterm و Cricondenbar انجام شد و سپس نمودار فشار بر حسب دما<sup>(۲)</sup> نیز به دست آورده شد. نرم افزار استفاده شده در این مطالعه WinProp است که از مجموعه‌های نرم افزار CMG است. طبق محاسبه‌های نرم افزار Cricondenbar به دست آمده برای این ترکیب نفت مخزن برابر با  $60.9 \text{ psia}$  گزارش شده است که در این فشار، دمای مخزن  $111^\circ\text{C}$  بوده است. همچنین Cricondenterm این ترکیب، درجه فارنهایت گزارش شده که در این دما، فشار مخزن  $496 \text{ psia}$  بوده است.

در ادامه محاسبه‌ها برای ترکیب‌های متفاوت گاز و در فشارهای متفاوت انجام شد. این محاسبه‌ها شامل پنج مرحله بوده در هر کدام از این مراحل ، ترکیب گاز تزریقی متفاوت بود. در مرحله اول ترکیب گاز طبیعی خالص در شبیه‌سازی به کار رفت. در مراحل دوم تا پنجم به ترتیب :  $6^\circ\text{C}$ ،  $28^\circ\text{C}$ ،  $48^\circ\text{C}$ ،  $78^\circ\text{C}$  درصد کربن دی اکسید به ترکیب گاز نیز اضافه شد. دلیل این امر این بود که کربن دی اکسید به خاطر ویژگی امتحاج‌پذیری که با نفت دارد، باعث افزایش بازیافت شده و نیز سبب می‌شود تا MMP کاهش پیدا کند. مزیت کاهش MMP این است که به فشار تزریق آزمایش‌های انجام شده نزدیک‌تر شده و می‌توان بیان کرد که آیا

بدون تردید در صورت عدم محدودیت و با افزایش فشار تزریق و بالا بردن مقدار  $\text{CO}_2$  نتیجه‌های مطلوب تری خواهیم داشت.

### شبیه‌سازی حداقل فشار امتحاج‌پذیری

طرایحی فرایند‌های تزریق گاز<sup>(۱)</sup> بیشتر شامل یک سری محاسبه‌های چند مرحله‌ای برای محاسبه فرایند تبخیر یا استخراج هستند. در نهایت یک نمودار سه گانه (مثلثی) ساختگی از این محاسبه‌ها به وجود می‌آید که به تفسیر نتیجه‌ها کمک می‌کند. بیشتر عملیات تزریق گاز به سمت امتحاج‌پذیری کامل پیش نمی‌روند، بلکه شرایط نزدیک امتحاج‌پذیری را تحقق می‌بخشد. حتی با وجود این که امتحاج‌پذیری به طور کامل تحقق پیدا نکند، بازیافت‌های ذکر شده می‌توانند به انجام برسند. به وسیله‌ی تجزیه نمودار سه گانه (مثلثی) امتحاج‌پذیری ترکیبات در ارتباط با لوله قلمی<sup>(۲)</sup> یا آزمایش‌های تزریق گاز می‌تواند تعیین شود. همچنین MCM option در نرم افزار شبیه‌ساز می‌تواند برای تعیین حداقل فشار امتحاج‌پذیری (MMP) یا امتحاج‌پذیری در نخستین تماس (FCM) برای یک نفت و فرایند تزریق گاز معلوم در یک دمای مشخص به کار رود، همچنین می‌تواند حداقل تراز غنی سازی امتحاج‌پذیری (MME) مورد نیاز برای امتحاج‌پذیری یک یا چند مرحله‌ای را در یک دما، فشار، ترکیب نفت و ترکیب‌های گاز اولیه و ترکیبی معلوم تعیین کند.

(۱) Solvent

(۲) Phase envelop

جدول ۴- نتیجه‌های MMP به دست آمده از شبیه‌سازی‌ها برای ترکیب‌های متفاوت.

کربن دی اکسید (درصد مول)	MMP(psia)	
	FCM	MCM
-	۱۱۸۲۰	۹۷۸۰
۶	۱۱۲۰۰	۹۳۰۰
۲۸	۹۵۰۰	۸۱۰۰
۴۸	۸۵۵۰	۷۱۵۰
۷۸	>۷۰۰۰	>۷۰۰۰

استفاده از شبیه ساز حداقل فشار امتزاجی نفت مخزن با گاز نیز شبیه‌سازی شده است. در طی این شبیه‌سازی به ترکیب گاز طبیعی خالص، مقداری کربن دی اکسید نیز اضافه شده است و شبیه سازی‌ها در فشارهای متفاوت هدایت شده اند. اکنون با توجه به آنچه که گفته شد می‌توان نتیجه‌های زیر را بیان کرد:

- ۱- با توجه به آزمایش‌های انجام شده و محدودیت‌های آزمایش، مشخص شد که ترکیب گاز طبیعی خالص در فشار psia ۴۰۰۰ بالاترین میزان بازیافت را در مقایسه با ترکیب‌های دیگر نتیجه می‌دهد.

۲- هدف از اضافه کردن مقدارهای متفاوت کربن دی اکسید به ترکیب گاز، به دست آوردن شرایط مطلوب برای امتزاج پذیری است. این شرایط شامل فشار و ترکیب گاز تزریقی است که با تعديل هر کدام از آنها می‌توان به شرایط ایده‌آل حداقل فشار امتزاج پذیری دست پیدا کرد.

۳- اضافه کردن کربن دی اکسید به گاز باید به مقدار مناسب انجام شود تا بتواند اثر خود را نشان دهد. اما از آنجایی که میزان کربن دی اکسید اضافه شده در آزمایش‌ها خیلی محدود بود و از طرف دیگر افت فشار در مقایسه با مراحل دیگر آزمایش‌ها خیلی زیاد بود، بنابراین میزان بازیافت در مقایسه با مراحل قبل افت محضوسی داشت.

۴- اضافه کردن عامل امتزاج پذیر باید در محدوده فشار امتزاجی انجام پذیرد. البته هرچه میزان عامل امتزاج پذیر بیشتر باشد، به طبع حداقل فشار امتزاج پذیری نیز افت خواهد کرد.

۵- با توجه به نتیجه‌های به دست آمده از شبیه سازی می‌توان گفت هر چند که آزمایش‌ها تا حدی امتزاج پذیری را نشان می‌دهند، اما هیچ یک از آزمایش‌های انجام شده به طور کامل و صد درصد امتزاج پذیر نبوده اند. چرا که حداقل فشار

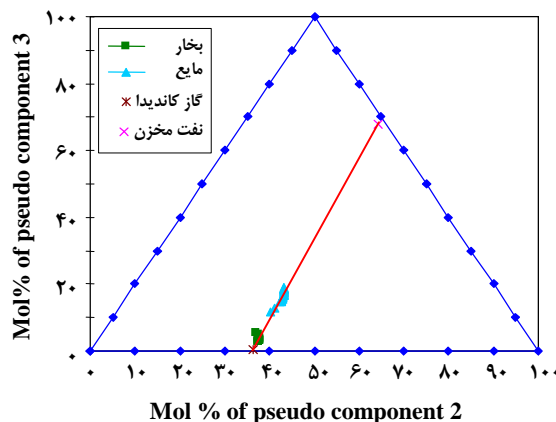
آزمایش‌های انجام شده امتزاج پذیر بوده است یا خیر. البته با توجه به این که در آزمایش‌های انجام شده تنها ترکیب ۶ درصد کربن دی اکسید مورد استفاده قرار گرفته است، بنابراین، با توجه به نتیجه‌های به دست آمده از شبیه سازی‌های MMP می‌توان گفت که ترکیب گاز طبیعی افزون بر ۶ درصد کربن دی اکسید و در فشار psia ۱۵۰۰ غیر امتزاجی بوده است.

همان‌طور که در پیش نیز گفته شد، شبیه‌سازی روی ترکیب‌های متفاوت گاز و در فشارهای متفاوت انجام شده است. نتیجه‌های حاصل از شبیه‌سازی که با ترکیب‌های متفاوت گاز انجام شد نشان داد، اضافه شدن کربن دی اکسید به امتزاج پذیری گاز کمک می‌کند، بنابراین، هرچه میزان آن بیشتر باشد، دستیابی به شرایط امتزاج پذیر راحت‌تر و سریع‌تر خواهد شد. این روند به وضوح در نتیجه‌های به دست آمده در شکل‌های ۱۵ تا ۱۸ قابل مشاهده است، به گونه‌ای که هرچه میزان کربن دی اکسید اضافه شده به ترکیب گاز طبیعی بیشتر بوده دستیابی به شرایط امتزاج پذیری در فشار پایین‌تری محقق شده است. (MMP کاهش یافته است). نتیجه‌های MMP به دست آمده برای ترکیب‌های متفاوت در جدول ۴ نیز تأیید کننده این مطلب هستند.

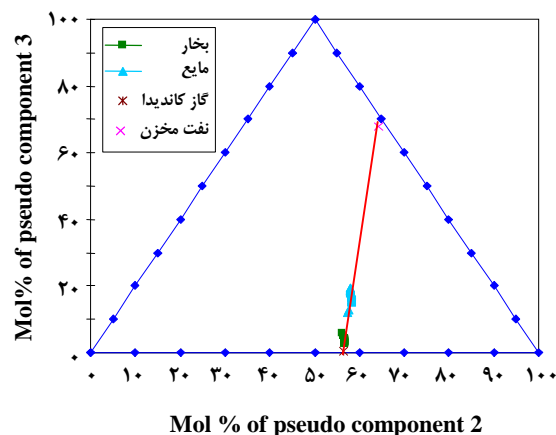
فشارهای آزمایش‌های انجام شده خیلی پایین بودند، بنابراین، ترکیب گاز طبیعی افزون بر ۷۸ درصد کربن دی اکسید با psia ۷۰۰۰ نزدیک‌ترین ترکیب برای انجام امتزاج پذیری است.

### نتیجه‌ها

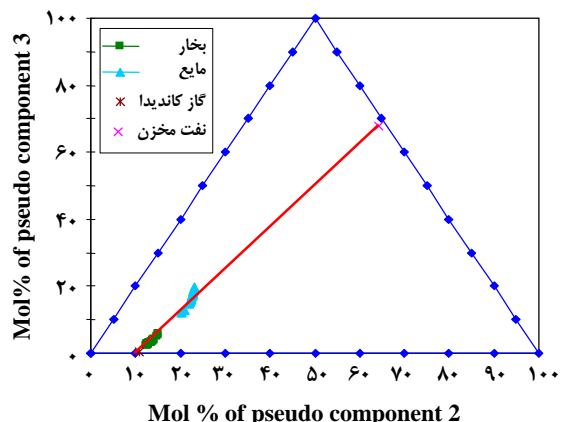
به طور کلی فرایند تزریق گاز از جنبه‌های گوناگون قابل بررسی است. در تحقیق حاضر فرایند تزریق گاز شاخص به نمونه مغزه تهیه شده از یکی از مخازن نفتی ایران در طی ترکیب‌ها و فشارهای متفاوت مورد ارزیابی قرار گرفته است. همچنین با



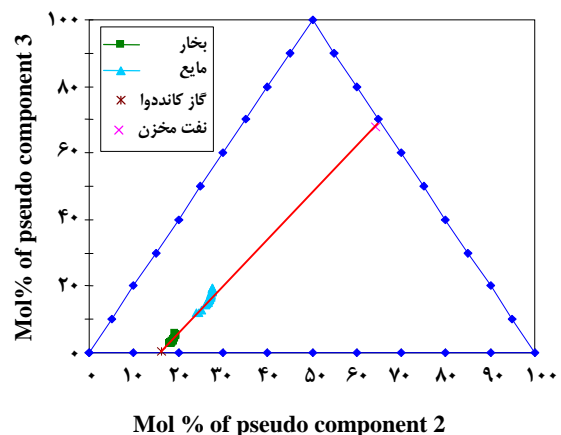
شکل ۱۷- نمودار سه گانه (مثلثی) گاز طبیعی با ۲۸ درصد کربن دی اکسید در فشار ۸۱۰۰ psia.



شکل ۱۸- نمودار سه گانه (مثلثی) گاز طبیعی با ۴۸ درصد کربن دی اکسید در فشار ۷۱۵۰ psia.



شکل ۱۵- نمودار سه گانه (مثلثی) گاز طبیعی خالص در فشار ۹۷۸۰ psia.



شکل ۱۶- نمودار سه گانه (مثلثی) گاز طبیعی با ۶ درصد کربن دی اکسید در فشار ۹۳۰۰ psia.

- برای به دست آوردن میزان بازیافت بالاتر، در صورت نداشتن محدودیتهای عملیاتی، پیشنهاد می‌شود که آزمایش‌ها در فشار بالاتر (فشار امتزاجی) انجام گیرند.
- پیشنهاد می‌شود افزون بر کربن دی اکسید، آزمایش‌ها با نیتروژن و یا دیگر گازهای هیدروکربنی انجام شوند تا بتوان اثرهای آنها را با یکدیگر مقایسه کرد.
- برای فراهم کردن شرایط مناسب‌تر امتزاج پیشنهاد می‌شود آزمایش‌ها با مدل‌های فیزیکی با طول بیشتر انجام شوند.

## فهرست عالیم

چگالی ( $\text{Kg}/\text{cm}^3$ )  
شتاب نقل ( $\text{cm}/\text{s}$ )

p  
g

امتزاجی گاز طبیعی خالص با نفت مخزن در حدود ۹۷۸۰ psia بوده است. اما نزدیکترین ترکیب به شرایط آزمایش، ترکیب گاز طبیعی افزون بر آن ۷۸ درصد کربن دی اکسید و با فشار تقریبی ۷۰۰۰ psia می‌باشد که امتزاج پذیری بیشتری را نشان داده و به دنبال آن بالاترین بازیافت را خواهد داشت.

۶- با توجه به نتیجه شیوه‌سازی، هرچه میزان کربن دی اکسید اضافه شده بیشتر بوده، دستیابی به شرایط امتزاج پذیری راحت‌تر و سریع‌تر مهیا شده است.

از آنجایی که فرایند تزریق گاز، به عنوان یکی از راهکارهای مناسب برای ازدیاد برداشت از مخازن نفتی ایران محسوب می‌شود، با توجه به کارهای انجام شده در این پژوهش، پیشنهادهای زیر به منظور تکمیل نتیجه‌های به دست آمده در این کار ارایه می‌شوند:

$\mu_o$	(cp)	q	دبی ماکسیمم (cc/sec)
$9.578 \times 10^{-1}$	(kg/cm <sup>2</sup> ) /atm	k	دراوایی (darcy)
		A	سطح مقطع (cm <sup>2</sup> )
تاریخ دریافت: ۸۴/۶/۱۳	تاریخ پذیرش: ۸۵/۸/۲۹	$\rho_o$	دانسیته نفت (atm/cm)

## مراجع

- [1] Benham, A.L., Dowden, W.E. and Kunzman, W.J., Miscible Fluid Displacement - Prediction of Miscibility, *Trans, AIME*, (21a: 22a), 229 (1960).
- [2] Musku, T. W., Pressure Maintenance by Gas Injection in Opelika Field of Henderson County, *Oil & Gas Journal*, Repr; Ser; Su: 55 (1946).
- [3] Elkins, M., Cook, M., Miscible Gas Injection in Fractured Reservoirs, *JPT*, **14**(1), 33, (1969).
- [4] "Oil Research Program Implementation", Department of Energy (DOE), U.S., Report at Site/ www.doe.gov/. Washington, U.S.A. (1982).
- [5] Barrenblatt, G., Zheltov, Y., Kochina, I., Experimental and Mathematical Investigation for Miscible and Immiscible Gas Injection in Porous Media, *Oil & Gas Journal*, Repr, 130 (1945).
- [6] Morel, M., Immiscible and Miscible Gas-Oil Displacement in Porous Media; Presented at SPE Conference, Washington, U.S.A., *JPT Journal*, **20**, 122 (1991).
- [7] Hua Hu, A., Pore - Scale Network Modeling of Water Flood Residual Oil Recovery by Gas Flooding, SPE/DOE Conference, Texas U.S.A. (1991).
- [8] Wylie, A., Billiot, J., Modeling of Water Flood Residual Oil Recovery by Gas Flooding, paper SPE / DOE 27814, Department of Energy, University of Houston, U.S.A. (1994).
- [9] Sorbie, K.S., Darman, N.H., The Development of Pseudo Functions for Gravity- Dominated Immiscible Gas Displacements, paper SPE 51941, Heriot-Watt University (1999).
- [10] Burger, P., Evtyukin, A., Mathematical Model and Laboratory Study of The Miscible Gas Injection in Fractured Porous Reservoirs, Paper SPE 36131, Moscow State Oil & Gas Academy (1996).
- [11] Marcel Latil, Enhanced Oil Recovery, Reprint series, SPE (1980).
- [12] Green, W. and Paul Willhite, G., "Enhanced Oil recovery", Reprint Series, SPE.
- [13] Donaldson, E.C. and Chilingarian, G.V., "Enhanced Oil Recovery II", Imprinti Elsevier (1989).
- [14] Saidi, A.M., "Reservoir Engineering of Fractured Reservoirs", Total Edition Press, Paris, (1987).
- [15] CSmith, C.R., "Mechanics of Secondary Oil recovery", Reinhold Publishing CO, Newyork City, (1966).